

## 2 Термические условия Дальневосточных морей

### Японское море

Весь февраль в полосе между параллелями  $38^{\circ}$  с. ш. и  $41^{\circ}$  с. ш. наблюдались отрицательные аномалии температуры поверхности моря с максимальными величинами в западной части акватории, до  $-2,8^{\circ}\text{C}$  в начале месяца и до  $-2,0^{\circ}\text{C}$  в конце. Вместе с тем, на акватории севернее  $43^{\circ}$  с. ш. наблюдались области с относительно теплыми водами. Величины положительных аномалий температуры достигали  $+2,2^{\circ}\text{C}$  в начале месяца и  $+1,8^{\circ}\text{C}$  в конце (рис. 2-1).

### Охотское море

Весь февраль на акватории Охотского моря фиксировалось распределение температуры поверхности воды близкое к климатическому. Отклонения от нормы не превышали  $\pm 0,8^{\circ}\text{C}$ . Исключением является ограниченная акватория южнее и восточнее мыса Анива, где зарегистрированы положительные аномалии температуры поверхности моря с величинами до  $+2,8^{\circ}\text{C}$  в начале месяца и до  $+1,8^{\circ}\text{C}$  к концу (рис. 2-2).

### Берингово море

В феврале распределение температуры поверхности моря на преобладающей части акватории Берингова моря характеризовалось отклонениями от нормы в пределах  $\pm 0,8^{\circ}\text{C}$ . В Бристольском заливе регистрировались положительные аномалии температуры с величинами до  $+3,0^{\circ}\text{C}$  в первой декаде и до  $+2,0^{\circ}\text{C}$  к концу месяца (рис. 2-3).

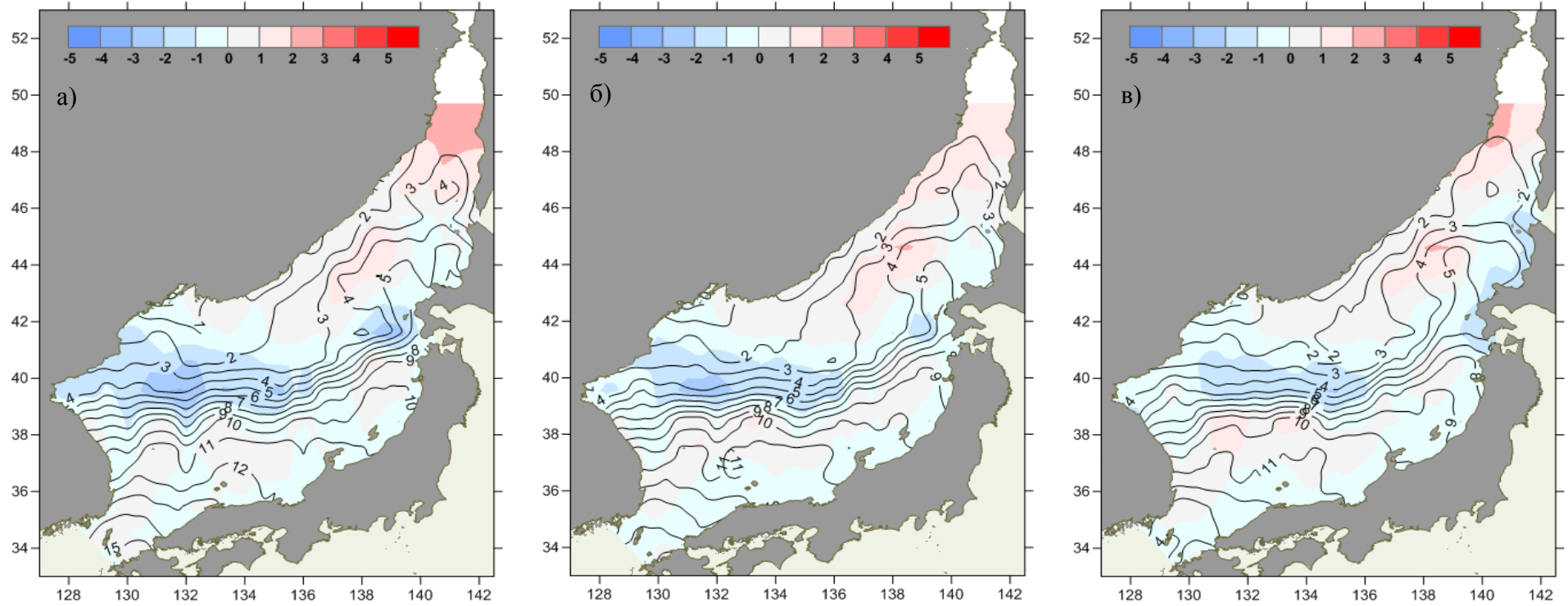


Рис. 2-1 Средняя декадная температура воды (изолинии) и её аномалия (изополосы), Японское море, декады февраля: 1 – а, 2 – б, 3 – в

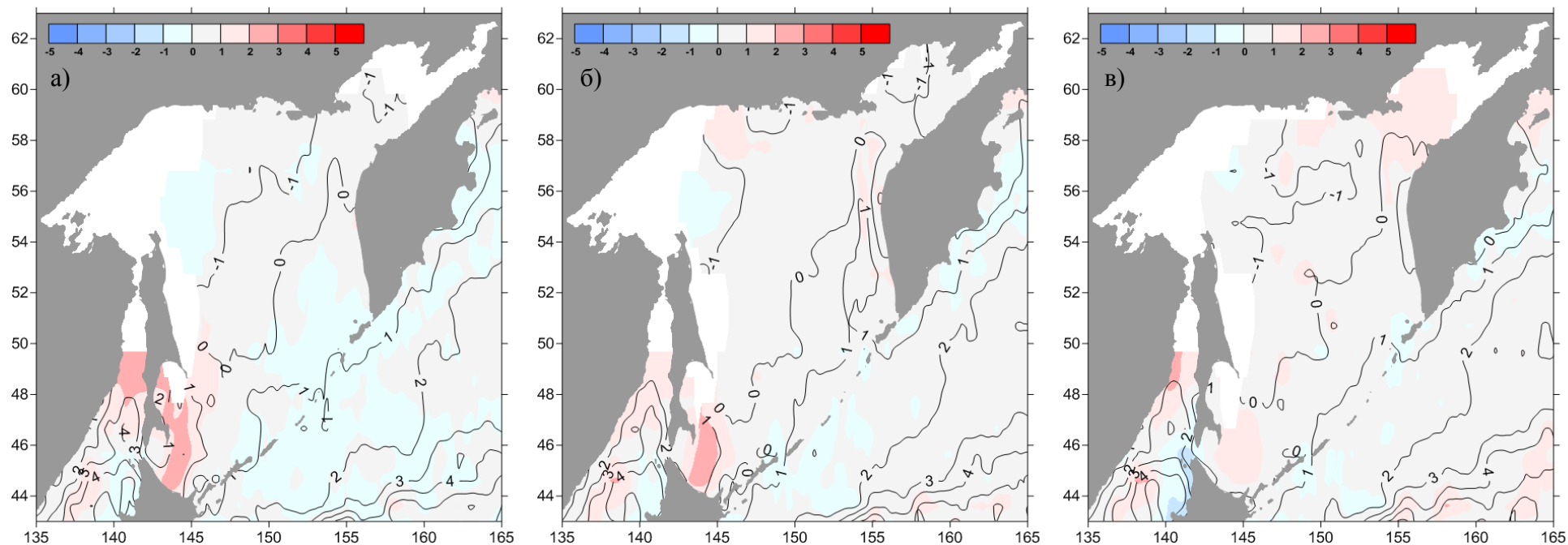


Рис. 2-2 Средняя декадная температура воды (изолинии) и её аномалия (изополосы), Охотское море, декады февраля: 1 – а, 2 – б, 3 – в

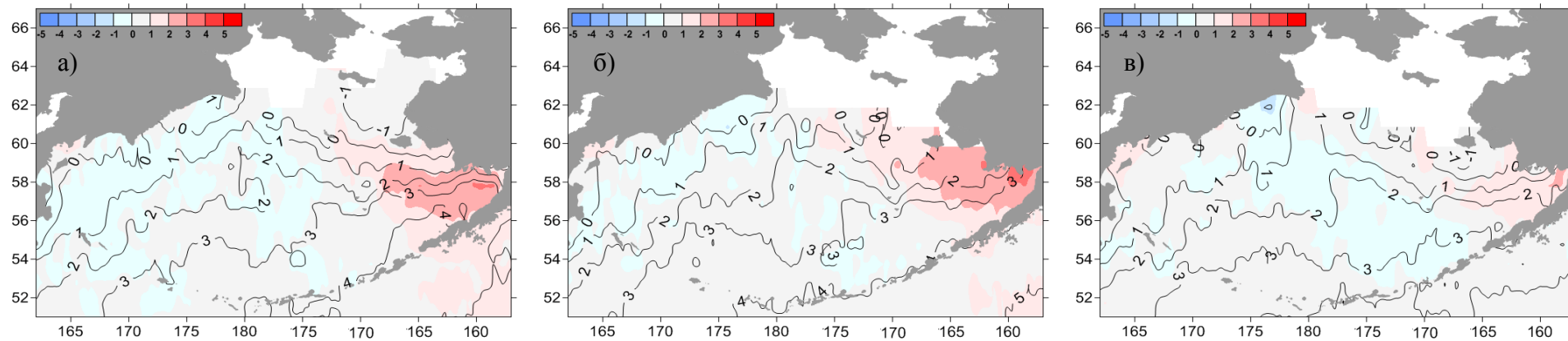


Рис. 2-3 Средняя декадная температура воды (изолинии) и её аномалия (изополосы), Берингово море, декады февраля: 1 – а, 2 – б, 3 – в